

УДК 539.213

© 1992

## КОМБИНАЦИОННОЕ РАССЕЯНИЕ СВЕТА В АМОРФНЫХ СЛОЯХ As<sub>x</sub>Se<sub>100-x</sub>. АНОМАЛИЯ КОНЦЕНТРАЦИОННОЙ ЗАВИСИМОСТИ

*В. И. Микла, А. А. Баганич, А. П. Соколов,  
Д. Г. Семак, А. П. Шебанин*

Приводятся результаты исследований спектров комбинационного рассеяния света в аморфных материалах системы мышьяк—сelen с содержанием As до 20 ат. %. С особой тщательностью проанализирована область вблизи составов, соответствующих экстремальным точкам на концентрационных зависимостях температуры размягчения, плотности, величины и энергии активации проводимости на постоянном токе и др. Предпринята попытка связать немонотонный характер изменения спектров комбинационного рассеяния при росте содержания мышьяка с определенными структурными изменениями на масштабах ближнего порядка.

Среди некристаллических полупроводников из системы As—Se, представляющих собой помимо научного и несомненный практический интерес ввиду реальных возможностей технического использования (например, в качестве фоточувствительных слоев электрофотографических аппаратов), к наиболее изученным можно отнести стехиометрический As<sub>40</sub>Se<sub>60</sub>; составы заключены в концентрационном интервале 30 < x < 50 ат. % As. Сведения же о разнообразных свойствах составов, обогащенных селеном, хотя и не столь обширны и многочисленны, однако явственно указывают на их неординарность. Наглядным подтверждением тому могут служить обнаруженные для ряда фундаментальных свойств экстремумы (в отдельных случаях — немонотонность) концентрационных зависимостей при содержании мышьяка 4—8 ат. %. Так, температура размягчения  $T_g$  до 6—8 ат. % увеличивается линейно, затем, при дальнейшем росте содержания мышьяка, ее изменение становится сублинейным [1—3] (рис. 1). На кривых микротвердости, плотности имеется отчетливый минимум, отвечающий составу 8 ат. % As [1—4]. В этой области обнаруживается минимум проводимости на постоянном токе и ее предэкспоненциального множителя; для энергии активации проводимости также характерна некоторая немонотонность [1, 4, 5]. Особенно резко проявляется изменение содержания мышьяка в экспериментах по дрейфу носителей [6—9]: примечательно не только отсутствие сигнала дрейфа дырок для 2 < x < 6 ат. % As, но и существенно различный характер сигнала по обе стороны выделенного концентрационного интервала (при x < 2 ат. % импульс с хорошо разрешенным временем пролета, а для x > 6 ат. % форма импульса представляется как бы суперпозицией сигнала дрейфа в Se и As<sub>40</sub>Se<sub>60</sub>). Похожему, неаддитивному закону с ростом содержания мышьяка изменяются фоточувствительность (см., например, [10]) и релаксационные параметры предварительно фотовозбужденных образцов [11, 12].

Таким образом, в стеклообразной системе As—Se в интервале 0—10 ат. % As имеется область составов, обогащенных селеном, в которой фундаментальные физические свойства проходят через определенный экстремум либо заметно изменяют характер зависимости от состава. Поэтому вполне резонно, на наш взгляд, увязать такое поведение со спецификой изменения взаимного расположения

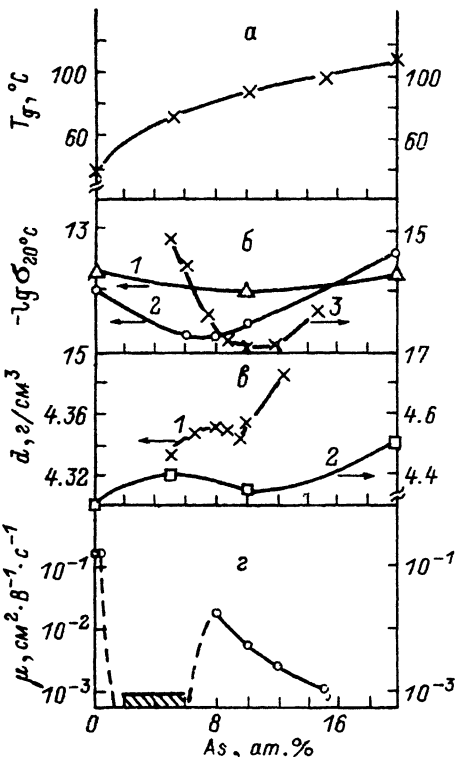


Рис. 1. Концентрационные зависимости фундаментальных физических свойств стеклообразных  $\text{As}_x\text{Se}_{100-x}$ .  
 а — температура размягчения [3]; б — проводимость на постоянном токе. 1 — [1], 2 — [10], 3 — [1]; в — плотность (1, 2).  
 1 — [1], 2 — [4]; г — дрейфовая подвижность.

жения атомов (атомной структурой) аморфных слоев  $\text{As}_x\text{Se}_{100-x}$  для значений  $2 \leq x \leq 6$  ат. %.

### 1. Спектры комбинационного рассеяния света

Измерения спектров комбинационного рассеяния (КР) проводились в геометрии  $90^\circ$  рассеяния на приборах ДФС-24 и У-1000. В качестве источника возбуждения использовался криптоновый ( $\lambda = 0.647$  мкм) лазер. Спектральная ширина щелей составляла  $\sim 1.5$  см $^{-1}$ . Поляризация возбуждающего света лежала в плоскости рассеяния.

Массивные образцы из синтезированных стекол  $\text{As}_x\text{Se}_{100-x}$  ( $x = 0, 2, 4, 6, 8, 10, 12, 15, 20$  и  $40$  ат. %) приготавливались в виде параллелепипедов с полированными гранями, аморфные слои нанылись на неподогреваемые подложки.

Измерения проводились при  $T = 300$

К. Для исключения влияния фотоструктурных превращений, приводящих к изменениям спектра, подобных рассматриваемым в [12] на примере аморфного селена, интенсивность возбуждающего КР света выбиралась  $3\text{--}5$  мВт. В таких условиях экспериментальные спектры, полученные в разных точках образца, совпадали, а при многократных циклах регистрации практически не изменялись.

Общий вид спектра комбинационного рассеяния аморфных пленок Se и  $\text{As}_{15}\text{Se}_{85}$  представлен на рис. 2. В высокочастотной области доминирует максимум при  $255$  см $^{-1}$ , при низких частотах наблюдается широкий бесструктурный пик с  $\omega_{\max} \approx 16\text{--}20$  см $^{-1}$ , характерный для спектров КР всех аморфных и стеклообразных материалов — бозонный пик. Сопоставление спектров Se и  $\text{As}_{15}\text{Se}_{85}$  демонстрирует качественное согласие между собой их общего вида в низкочастотном интервале  $10$  см $^{-1} < \omega < 100$  см $^{-1}$ . Наряду с этим различие контуров основного максимума в области частот валентных колебаний очевидно. Так, по мере роста содержания мышьяка прослеживается трансформация спектра КР в этой области (рис. 3). Из наиболее характерных ее моментов отметим уширение спектра с увеличением добавок мышьяка, подъем интенсивности рассеяния со стороны низкочастотного крыла основного максимума и появление размытой полосы при  $220\text{--}230$  см $^{-1}$ , по частоте соответствующей наиболее интенсивной моде спектра стехиометрического состава  $\text{As}_{40}\text{Se}_{60}$ . Кроме того, заметно также некоторое смещение основного максимума (в а-Se он располагается при  $\sim 253$  см $^{-1}$ ) в сторону больших частот.

В интервале  $0\text{--}2$  ат. % As интенсивность полосы при  $220\text{--}230$  см $^{-1}$  остается практически неизменной. Затем, при  $2 < x < 6$  ат. %, происходит резкое увеличение интенсивности упомянутой полосы. Последующее увеличение содержания мышьяка в стеклах  $\text{As}_x\text{Se}_{100-x}$  сопровождается дальнейшим (монотонным)

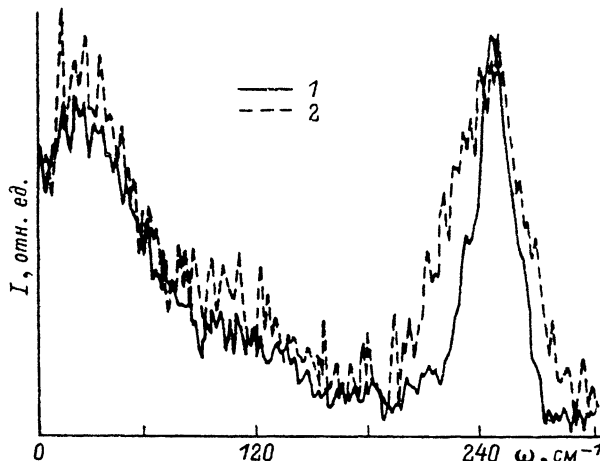


Рис. 2. Спектры КР аморфных Se (1) и  $\text{As}_{15}\text{Se}_{85}$  (2).

ростом ее интенсивности. Для составов с содержанием мышьяка более 35 ат.% мода при  $\sim 220 \text{ cm}^{-1}$  становится доминирующей в спектре КР.

Вплоть до состава  $\text{As}_5\text{Se}_{95}$  спектр КР в области главного максимума практически симметричен относительно частоты  $\omega_{\max} = 253 \text{ cm}^{-1}$ . При большем содержании мышьяка прослеживается его асимметричное уширение со стороны низкочастотного крыла этого максимума.

Визуально спектры КР стеклообразных  $\text{As}_x\text{Se}_{100-x}$  с  $0 < x < 40$  ат.% представляют собой как бы суперпозицию спектров селена и триселенида мышьяка. Произведенные нами расчеты показали, что, несмотря на сходство контуров основных полос, наблюдается систематическое расхождение между спектрами, полученными аппроксимацией (интенсивность рассеяния для таковых определялась как сумма интенсивностей рассеяния

$$J_{\text{As}_x\text{Se}_{100-x}} = J_{\text{Se}} + k J_{\text{As}_{40}\text{Se}_{60}},$$

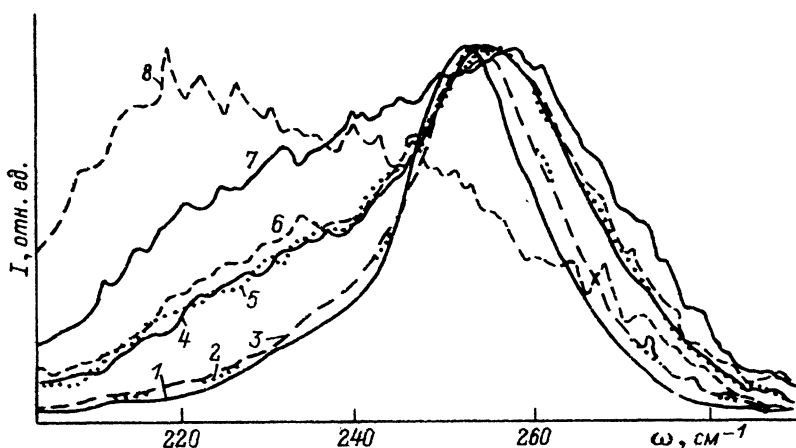


Рис. 3. Спектры КР аморфных  $\text{As}_x\text{Se}_{100-x}$  в области валентной моды.  
 $x = 0(1), 4(2), 5(3), 6(4), 8(5), 10(6), 20(7), 40$  ат.% (8).

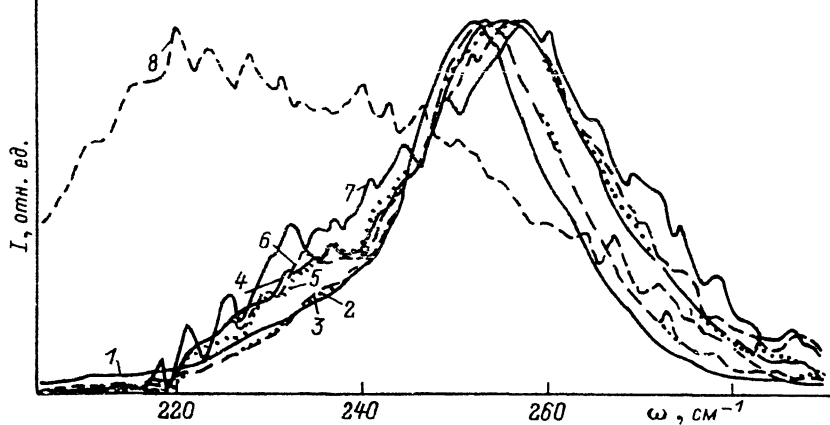


Рис. 4. Расчетные спектры аморфных  $\text{As}_x\text{Se}_{100-x}$ .

$x = 4(2), 5(3), 6(4), 8(5), 10(6), 20$  ат.-% (7).

где  $k$  — некоторый нормировочный множитель, подбираемый для каждого конкретного состава), и экспериментально определенными спектрами. Для последних характерны большие значения полуширины пика в области основной валентной моды.

На рис. 4 представлены разностные спектры, полученные вычитанием из экспериментальных спектров КР аморфных слоев  $\text{As}_x\text{Se}_{100-x}$  спектра  $\text{As}_{40}\text{Se}_{60}$ , вклад которого подгонялся по области  $\omega < 230 \text{ cm}^{-1}$ , где соответственно вклад Se пренебрежимо мал. Как видно, после вычитания остается некоторый пик, ширина и положение которого отличны от таковых для Se.

По данным рис. 3 были вычислены значения параметра  $A$ , представляющего собой отношение интегральной интенсивности КР в интервале, ограниченном характерными частотами колебаний  $\text{AsSe}_{3/2}$  ( $205-230 \text{ cm}^{-1}$ ), к интегральной интенсивности всего спектра валентных колебаний ( $205-290 \text{ cm}^{-1}$ )

$$A = \frac{\int_{205 \text{ cm}^{-1}}^{230 \text{ cm}^{-1}} I_{\text{KP}}}{\int_{205 \text{ cm}^{-1}}^{290 \text{ cm}^{-1}} I_{\text{KP}}}.$$

Как следует из рис. 5 (кривая 1), концентрационная зависимость  $A \sim f(x)$  носит выраженный немонотонный характер и испытывает резкий подъем в интервале 4—6 ат.-% As. Для частотного диапазона  $240-270 \text{ cm}^{-1}$  изменение интенсивности КР с составом носит более плавный, слаженный характер. На том же рисунке представлены зависимости частоты пика  $\omega_{\max}$  (кривая 2) и его ширины на полувысоте  $\Delta\omega_{\max}$  (кривая 3) в зависимости от содержания мышьяка для соответствующих разностных спектров. Примечательно значительное сходство концентрационных зависимостей параметров  $A$ ,  $\omega_{\max}$  и  $\Delta\omega_{\max}$ .

## 2. Обсуждение результатов

Выполненные до настоящего времени исследования КР в стеклах системы мышьяк—селен сравнительно немногочисленны [7, 13–15]. В значительной мере это объясняется объективными трудностями идентификации спектров системы As—Se: атомная масса, энергия взаимодействия и характерные частоты колебаний для Se и As близки. Дополнительная сложность заключается еще и в том, что даже в случае элементарного аморфного селена нет необходимой уверенности в правильности структурной идентификации экспериментальных спектров. Наличие

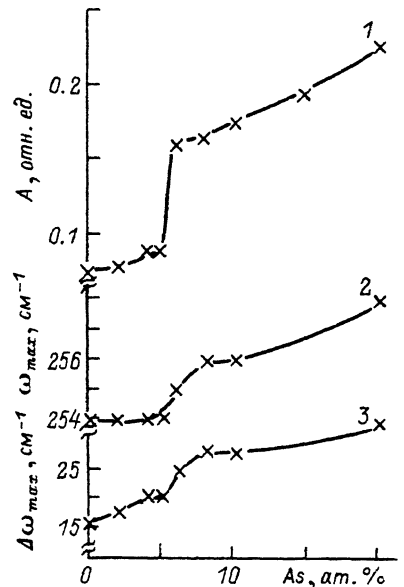
Рис. 5. Концентрационная зависимость параметров  $A$  (1),  $\omega_{max}$  (2) и  $\Delta\omega_{max}$  (3).

1 — на основе экспериментальных данных; 2, 3 — по расчетным кривым разностных спектров.

главного максимума ( $230$ — $260$   $\text{см}^{-1}$ ) в КР спектре  $a$ -Se мы связываем преимущественно с колебаниями связей Se—Se в цепочках. В настоящее время уже не вызывает сомнений, что в структуре  $a$ -Se наряду с цепочками (фрагментами цепочек) присутствует и незначительная концентрация (<5 %) колец типа  $\text{Se}_8$  (фрагментов колец). Для надежной идентификации последних наиболее подходящей спектральной областью, по-видимому, следует считать низкочастотную, вблизи  $112$   $\text{см}^{-1}$ , поскольку она присуща исключительно кольцам. Что касается главного максимума, то разделить вклад цепочек и колец в пик при  $255$   $\text{см}^{-1}$  и плечо при  $237$   $\text{см}^{-1}$  не столь просто, как это изначально предполагалось в [7]. На наш взгляд, вклад колец в интенсивность КР при  $255$   $\text{см}^{-1}$  соизмерим с их вкладом в интенсивность колебательной моды  $^1 \sim 112$   $\text{см}^{-1}$ . Вполне возможно, как это предполагают и авторы [15], что полоса при  $112$   $\text{см}^{-1}$  — скорее всего спектроскопическое проявление не замкнутых кольцевых образований типа  $\text{Se}_8$ , а их элементов (фрагментов), в которых, однако, сохраняется цис-конфигурация в размещении атомов.

Обсудим теперь наблюдаемое в частотном диапазоне  $200$ — $300$   $\text{см}^{-1}$  видоизменение спектра КР аморфных слоев  $\text{As}_{x}\text{Se}_{100-x}$  при вариации содержания мышьяка в интервале  $0$ — $20$  ат.%. Естественны, на наш взгляд, попытки аппроксимации спектров  $\text{As}_x\text{Se}_{100-x}$  суперпозицией двух постоянных спектральных форм, одна из которых принадлежит Se, другая —  $\text{As}_{40}\text{Se}_{60}$ .<sup>2</sup> Расчеты, однако, показали, что полное описание экспериментальных спектров с помощью лишь суммирования вклада полос, обусловленных колебаниями тригональных  $\text{AsSe}_{3/2}$  и цепочечных Se—Se структурных единиц, затруднительно. Из вероятных причин расхождения между теоретически рассчитанными и экспериментально определенными спектрами можно указать сильное различие коэффициентов рассеяния для Se и  $\text{As}_{40}\text{Se}_{60}$ , наличие иных, не учтенных структурных единиц.

Нам представляется, что введение мышьяка способствует делению (разрыву) длинных цепочек селена на более короткие и увязыванию их через атомы мышьяка. В результате от колебаний «бесконечной» цепочки мы переходим к колебаниям «более короткой» цепочки с закрепленными концами. В такой модельной ситуации резонно ожидать повышения частоты колебаний атомов в цепочке, что и выражается в экспериментальных спектрах  $\text{As}_x\text{Se}_{100-x}$  как небольшое смещение главного максимума в область высоких частот. По-видимому, при введении атомы мышьяка не только разрывают цепи селена, но и увязывают их в произвольных местах. Как следствие, характерная частота колебаний атомов приобретает значительный разброс, что внешне проявляется в резком уширении основной частоты колебаний при введении небольших добавок мышьяка.



<sup>1</sup> Попутно заметим, что при введении 2 ат.% As интенсивность последней существенно понижается вплоть до полного ее исчезновения, указывая на отсутствие колец в составах с  $x \geq 2$  ат.%

<sup>2</sup> Подобные попытки предпринимались авторами [14]

Таким образом, возможности аппроксимации спектра суперпозицией спектральных форм селена и триселенида мышьяка ограничены. Напротив, экспериментальные спектры можно аппроксимировать в предположении сильного уширения колебания цепочек и смещения их по частоте. Подобное приближение представляется корректным, и, как мы полагаем, серьезным аргументом в его пользу являются сами разностные спектры: характер их изменения с составом и вычисленных на их основе параметров  $\omega_{\max}$  и  $\Delta\omega_{\max}$  (рис. 4, 5). Из указанных параметров  $\omega_{\max}$  характеризует напряжения в структуре и изменения граничных условий цепочек Se,  $\Delta\omega_{\max}$  связан с разбросом параметров ближнего порядка —

длин и углов связей  , вариацией граничных условий, длин цепочек.

Очевидно, характеристики структуры ближнего порядка, как геометрические (межатомные расстояния, координационные числа), так и энергетические (полная потенциальная энергия системы и ее составляющие), изменяются с составом немонотонно, причем при тех значениях  $x$ , при которых происходит резкий рост параметров  $A$ ,  $\omega_{\max}$  и  $\Delta\omega_{\max}$ .

Наконец, сделаем некоторые замечания по поводу структурных корреляций с радиусом  $R_c$ , превышающим протяженность ближнего порядка, иначе — относительно среднего порядка. Считается, а для этого имеются весьма весомые аргументы, приведенные, например, в [16], что информацию о нем несет низкочастотный пик. Наиболее важными структурно-чувствительными параметрами последнего являются его положение  $\omega_{\text{нц}}$ , амплитуда  $I_{\text{нц}}$  и спектральная форма. Согласно предложенной в [16] модели, положение бозонного пика в спектре КР определяется значением  $R_c$ :  $\omega_{\text{нц}} \sim v/R_c$  ( $v$  — скорость звука), интенсивность пика по отношению к интенсивности валентной моды — степенью упорядоченности (амплитудой флуктуаций констант) [17], а его спектральная форма — особенностями структуры на масштабах  $\sim R_c$  [18]. Поскольку из анализа экспериментальных спектров КР аморфных  $\text{As}_x\text{Se}_{100-x}$  в низкочастотной области яствует, что изменения всех упомянутых параметров с ростом содержания мышьяка незначительны и монотонны, значит, и в среднем порядке резких изменений не происходит.

Эволюция локальной структуры аморфных слоев  $\text{As}_x\text{Se}_{100-x}$  с ростом содержания As нам представляется следующей. При введении в селен атомов мышьяка они становятся точками разветвления, через которые осуществляется смычка цепочек (фрагментов колец). В интервале незначительной (<6 ат.%) концентрации мышьяка количество подобных разветвляющих узлов мало, и они статистически вкраплены в основной структурный мотив, образованный цепочечными элементами. Такие узлы можно рассматривать как структурно-изолированные. В силу статистических причин нельзя исключить, однако, что отдельные атомы мышьяка не смогут насытить свои валентные потребности и реализуют лишь две из трех возможных связей. В таком случае это будут нарушенно-координированные атомы  $P_2^-$ , которым соответствует глубокий уровень в щели подвижности. Ввиду отрицательного заряженного состояния  $P_2^-$  будет весьма эффективно локализовать положительные носители, внешним проявлением чего будут резкое снижение времени жизни последних и отсутствие сигнала дрейфа. Дальнейшее введение мышьяка способствует образованию собственно  $\text{AsSe}_{3/2}$  единиц, их группировке и формированию пространственно-увязанной структурной сетки с валентно-насыщенными связями, характерной для  $\text{As}_{40}\text{Se}_{60}$ .

Таким образом, немонотонность изменения валентной моды в спектрах КР аморфных слоев  $\text{As}_x\text{Se}_{100-x}$  с составом позволяет сделать вывод о немонотонном изменении структуры ближнего порядка. На данном этапе мы не можем с надежной достоверностью указать конкретную схему таких изменений. Очевидно,

однако, что таковая изменяется немонотонно, причем при тех же значениях  $x$ , при которых наблюдается присущая аморфным и стеклообразным  $As_xSe_{100-x}$  немонотонность хода зависимостей фундаментальных свойств от состава. На масштабах же более далеких корреляций в расположении атомов — среднего порядка, — по-видимому, существенной трансформации с выраженной аномалией не происходит.

### Список литературы

- [1] Борисова З. У. Химия стеклообразных полупроводников. Л., 1972. 247 с.
- [2] Mayers M. B., Feltz E. F. // Mater. Res. Bull. 1967. V. 2. N 7. P. 535—546.
- [3] Hanmei Y., Weizhong W., Szukwei M. // J. Non. Cryst. Solids. 1986. V. 80. N 1—3. P. 503—508.
- [4] Hulls K., McMillan P. W. // J. Non-Cryst. Solids. 1974. V. 15. N 1. P. 357—385.
- [5] Мотт Н., Дэвис Э. Электронные процессы в некристаллических веществах. М., 1974. 472 с.
- [6] Коломиец Б. Т., Лебедев Э. А. // ФТП. 1966. Т. 8. № 4. С. 1136—1139.
- [7] Schottmüller Y., Tabak M., Lucovsky G., Ward A. // J. Non-Cryst. Solids. 1970. V. 4. N 1. P. 80—96.
- [8] Монтремас Э. А., Пажера А. А., Таурайтенс С. А., Таурайтис А. С. Физические основы электрофотографии. Вильнюс, 1969. С. 246—251.
- [9] Микла В. И., Семак Д. Г., Мателешко А. В., Левкулич А. Р. // ФТП. 1987. Т. 21. № 3. С. 427—432.
- [10] Круглов В. И., Страхов Л. П. // ФТП. 1970. Т. 4. № 8. С. 1541—1545.
- [11] Mikla V. I., Semak D. G., Mateleshko A. V., Baganich A. A. // Phys. Stat. Sol. (a). 1990. V. 117. N. 1. P. 241—250.
- [12] Баганич А. А., Микла В. И., Семак Д. Г., Соколов А. П., Шебанин А. П. // Физика и химия стекла. 1991. Т. 17. № 2. С. 286—272.
- [13] Mori T., Onari S., Arai T. // Jpn. J. Appl. Phys. 1980. V. 19. N 6. P. 1027—1031.
- [14] Onari S., Matsushita K., Arai T. // J. Non-Cryst. Solids. 1985. V. 74. N 1. P. 57—67.
- [15] Lucovsky G. // Proc. Int. Conf. on the Physics of selenium and Tellurium. Königstein (FRG), 1979. P. 178—192.
- [16] Malinovsky V. J., Sokolov A. V. // Sol. St. Comm. 1986. V. 57. N 9. P. 757—761.
- [17] Соколов А. П., Шебанин А. П. // ФТП. 1990. Т. 24. № 6. С. 1138—1140.
- [18] Baganich A. A., Mikla V. I., Semak D. G., Sokolov A. P., Shebanin A. P. // Phys. Stat. Sol. (b). 1991. V. 166. N. 1. P. 297—302.

Ужгородский  
государственный университет

Поступило в Редакцию  
25 сентября 1991 г.